

پراکندگی اندازه و شکل بلورهای پلازیوکلاز در آندزیت‌های بازالتی شمال گاوخونی

مهناز خدامی^{*}، بهناز بختیاری^۲

۱- گروه زمین‌شناسی، پردیس علوم، دانشگاه یزد، یزد، ایران

۲- دانشکده منابع طبیعی و علوم زمین، دانشگاه شهرکرد، شهرکرد، ایران

(دریافت مقاله: ۹۷/۱۱/۱، نسخه نهایی: ۹۷/۸/۱)

چکیده: پلازیوکلاز فراوانترین کانی سازنده‌ی آندزیت‌های بازالتی شمال گاوخونی است که بصورت ریزنگ و درشت‌بلور و با شکل‌های سه‌بعدی دوکی تا تیغه‌ای دیده می‌شود. اولیوین و پپروکسن از دیگر کانی‌های سازنده‌ی این سنگ‌ها هستند. بلورهای پلازیوکلاز گاهی بافت غباری، منطقه‌بندی نوسانی و رشد سینوسی از خود نشان می‌دهند. براساس نتایج بررسی پراکندگی اندازه بلور، سرعت هسته‌بندی برای بلورهای پلازیوکلاز $2/77 \times 10^{-8} \text{ mm}^3 \text{s}^{-1}$ و مدت زمان سرد شدن $71/08-17/77$ سال برآورد شد که نشانه‌ی نرخ هسته‌بندی بالا، سردشدن سریع و مدت زمان نسبتاً کوتاه اقامت بلور در آشیانه ماقمایی است. نمودارهای پراکندگی اندازه بلور نشانگر فراوانی بلورهای کوچک‌تر و در ادامه رشد نسبی بلورهای متوسط بخرج آنها و همچنین وجود جمعیت بلوری دوگانه هستند. وجود جمعیت‌های بلوری متغیر می‌تواند ناشی از ورود مذاب جدید با مجموعه بلوری جدید به آشیانه ماقمایی باشد. این رخداد می‌تواند باعث افزایش حجم اتاق ماقمایی و کمک به خروج سریع‌تر ماقما شود.

واژه‌های کلیدی: آندزیت بازالتی، پراکندگی اندازه بلور، مدت زمان اقامت بلور، پلازیوکلاز.

مقدمه
حرکت مذاب، محیط سرد شدن ماقما، مدت زمان توقف در زمین، نرخ رشد و هسته‌گذاری بلورها و فرآیندهای آشیانه ماقمایی بستگی دارد. درجه تبلور و مقدار شیشه آتشفسانی، محیط تبلور، ارتباط بلورها طی فوران و پس از آن، مقدار مواد فرار و آلایش ماقمایی از عوامل موثر بر بافت سنگ‌های آتشفسانی هستند. تغییر ترکیب پلازیوکلاز در حال رشد و ایجاد انواع منطقه‌بندی در آن، رشد سینوسی، بافت‌های برآمده از ذوب و تحلیل بلور در ماقما می‌توانند نشانگر فرآیندهایی مانند تغییر دما، فشار، فشار بخار آب و آلایش ماقمایی باشد. افزون بر بررسی‌های تحلیلی بافتی و کانی‌شناسی، توزیع پراکندگی و الگوی فضایی بلورها برای تعیین شرایط فیزیکی تشکیل و رشد کانی‌ها و از جمله پلازیوکلازها که فراوان‌ترین کانی سنگ‌های آندزیت بازالتی شمال گاوخونی نیز هستند، مفید است. این کانی با منطقه‌بندی شیمیایی متنوع، بافت

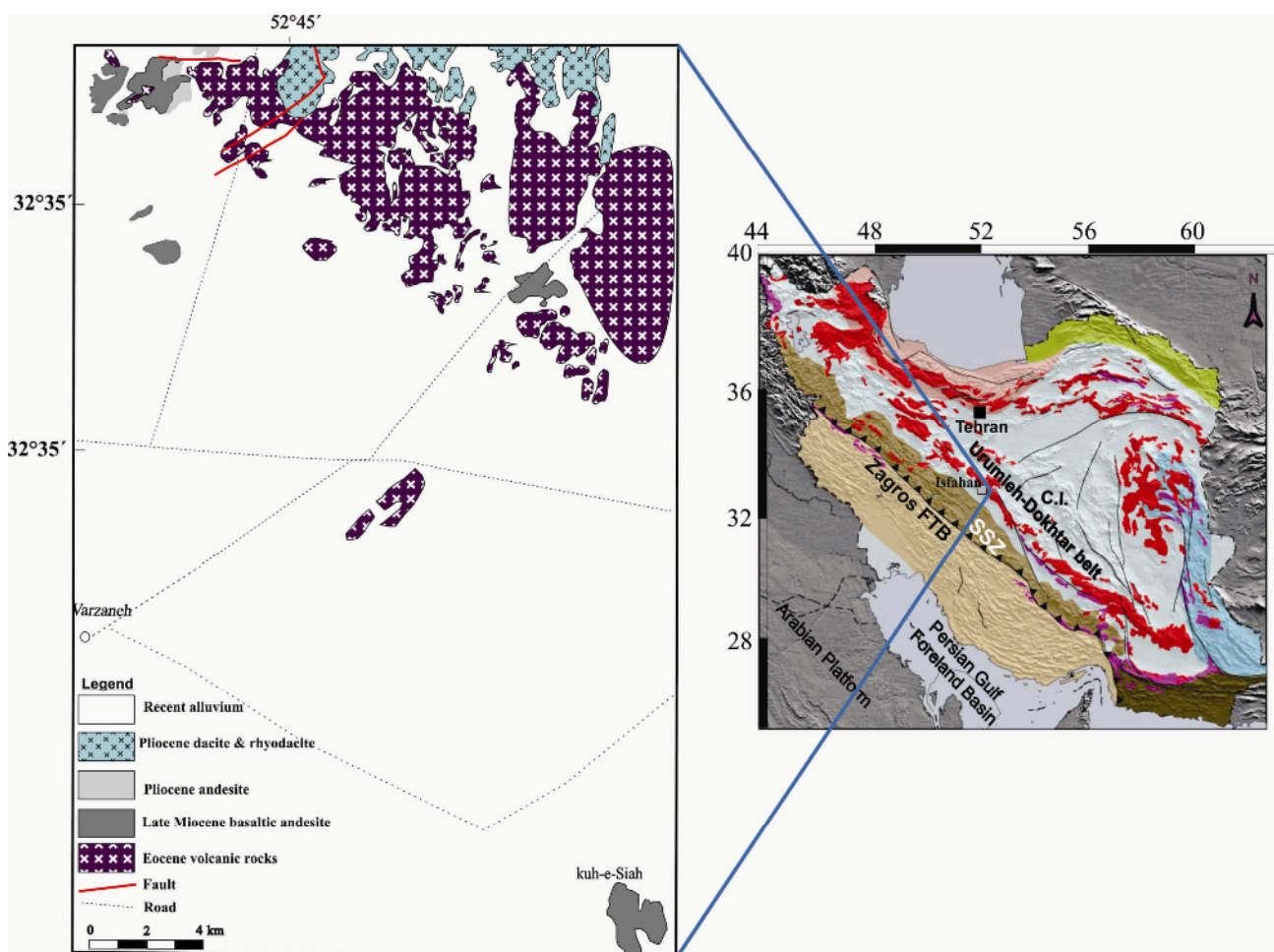
نظریه پراکندگی اندازه‌ی بلورها روشنی فیزیکی و تکمیلی برای تحلیل داده‌های سنگنگاری و زمین شیمی است که فرآیندهای فیزیکی درگیر در تبلور و سرعت آنها را بررسی می‌کند. در این روش، بر اساس اندازه دانه‌ها در سنگ‌ها، سرعت رشد و مدت زمان اقامت بلور تعیین می‌شود. پراکندگی اندازه بلور در اصل دربردارنده داده‌های اندازه بلور و تراکم جمعیت بلوری است. اندازه یک بلور یا دانه و شکل بلور شرایط تبلور و دوره‌های هضم و رشد را نشان می‌دهد. پلازیوکلازها از جمله کانی‌های فراوان سنگ‌های آتشفسانی آهکی قلیایی هستند که قادرند روند تغییرات ماقما را در خود حفظ کنند. از این رو، اندازه، شکل و ترکیب این کانی در تحلیل و بازسازی فرآیندهای ماقمایی در بژوهش‌های گوناگون مورد توجه قرار گرفته است [۱-۴]. تبلور سنگ‌های آتشفسانی به سرعت

پهنه ایران مرکزی قرار دارد [۵]. این پهنه شاهد تکاپویی ماقمایی گسترهای در سنوزوئیک بهویژه ائوسن بوده که تا پلیوسن و کواترنری ادامه داشته است. فعالیت آتشفشاری اواخر میوسن، پلیوسن تا کواترنری قاره‌ای بوده است و این سنگها بیشتر به صورت گنبد، گنبد گدازه و گدازه رخمنون دارند. سنگ‌های آندزیت بازالتی، آندزیت، داسیت و ریوداسیت اواخر میوسن تا پلیوسن سنگ‌شناسی عمده‌ی منطقه هستند [۶،۵]. سنگ‌های آندزیت بازالتی با سن تقریبی اواخر میوسن در این منطقه در سیاه‌کوه علی‌آباد و کوه‌سیاه در کرانه شمال باتلاق گاوخونی رخمنون دارند. این سنگ‌ها به صورت جریان گدازه و اسکوری دیده می‌شوند و پیرامون مراکز خروج گسترش یافته‌اند [۶] (شکل ۱).

غباری به صورت ریزبلور و درشت‌بلور در این سنگ‌ها به چشم می‌خورد. در این پژوهش بافت‌های ویژه این کانی و تنوع اندازه و شکل بلورها برای درک بهتر فرآیندهای موثر در دگرگونی ماقمایی سازنده‌ی این سنگ‌ها بررسی می‌شود.

زمین‌شناسی عمومی

از نظر واحدهای زمین‌شناسی ساختاری گستره مورد بررسی جزو نوار آتشفشاری پهنه ایران مرکزی ارومیه – دختر است. رخمنون سنگ‌های آتشفشاری میوسن پسین، پلیوسن-کواترنری در ۱۲۰ کیلومتری جنوب شهر اصفهان، جنوب-جنوب غربی نائین و شمال باتلاق گاوخونی قرار دارند. کمریند ماقمایی ارومیه-دختر به موازات پهنه زاگرس و سندج-سیرجان با پهنه‌ای ۵۰ تا ۱۰۰ کیلومتر و طول ۱۸۰۰ کیلومتر از شمال غربی به جنوب شرق از آذربایجان تا مکران در کرانه



شکل ۱ نقشه زمین‌شناسی منطقه ساده شده از نقشه ۱:۲۵۰۰۰۰ نایین [۵].

خلیجی دارند که بیشتر ناشی از هضم و تحلیل رفتن بلور در مذاب اطراف و در اثر تغییر شرایط پایدار به نیمه پایدار است. پیروکسن‌ها در زمینه و یا به صورت لبه واکنشی پیرامون اولیوین دیده می‌شوند. درشت‌بلورها و ریزبلورهای پلازیوکلاز با منطقه‌بندی شیمیایی نوسانی، عادی و گاهی معکوس و بافت غباری فراوان‌ترین کانی سنگ‌های آتش‌فشنای منطقه هستند [۶] (شکل‌های ۳ و ۲). منطقه‌بندی شیمیایی از ویژگی‌های بافتی پلازیوکلازهاست که با تغییرات مقدار آنورتیت از مرکز به لبه مشخص می‌شود. منطقه‌بندی نوسانی و عادی نیز در این پلازیوکلازها دیده می‌شود، اما در برخی بلورها به ویژه انواع دارای بافت غباری، افزایش مقدار آنورتیت در لبه گزارش شده است [۶]. با افزایش دما و فشار بخار آب، یا کاهش فشار طی صعود ماقما و یا تغییرات ترکیب شیمیایی ماقما مقدار آنورتیت پلازیوکلاز افزایش می‌یابد [۸]. منطقه‌بندی نوسانی در پلازیوکلاز به تغییرات ترکیب ماقما در اثر تغییر غلظت سازنده‌ها در پیرامون بلور مرکزی و یا تغییرات دما و فشار بخار آب و حتی عملکرد جریان‌های همرفتی در آشیانه ماقمایی مربوط شده [۱۰، ۹] و تغییرات متناوب این عوامل منجر به منطقه‌بندی نوسانی در پلازیوکلاز می‌شود. بافت غباری، لبه‌های گردشده در پلازیوکلاز و کانی‌های دیگر اغلب به باز بودن سیستم ماقمایی، شرایط غیرتعادلی و جریان همرفتی در آشیانه ماقمایی نسبت داده می‌شود. بلورهای جدایش یافته قادر به شناوری در ماقما و تماس بیشتر با مذاب هستند که منجر به افزایش احتمال انحلال و تشکیل این بافت‌ها می‌شود. کاهش ناگهانی فشار و یا آمیختگی ماقمایی نیز می‌تواند بافت غباری ایجاد کند. در ادامه تبلور در این منطقه، پلازیوکلاز با ترکیب جدید و در تعادل با مذاب دربرگیرنده رشد می‌کنند [۱۲-۹]. بافت غباری گاهی در مرکز بلور و گاهی در لبه این کانی در سنگ‌های موربد برسی دیده می‌شود (شکل‌های ۲ و ۳). گسترش بافت غباری در پلازیوکلاز به ترکیب اولیه کانی مربوط است. گرمای مذاب داغ جدید و یا کاهش فشار در بالا آمدن ماقما و تغییرات فشار بخار آب منجر به ذوب می‌شود. آثار ذوب و تحلیل بلور در مناطق غباری قابل مشاهده است [۱۲-۹]. با نبود شواهد قوی برای آمیختگی ماقمایی، بافت غباری لزوماً این موضوع را ثابت نمی‌کند.

روش بررسی

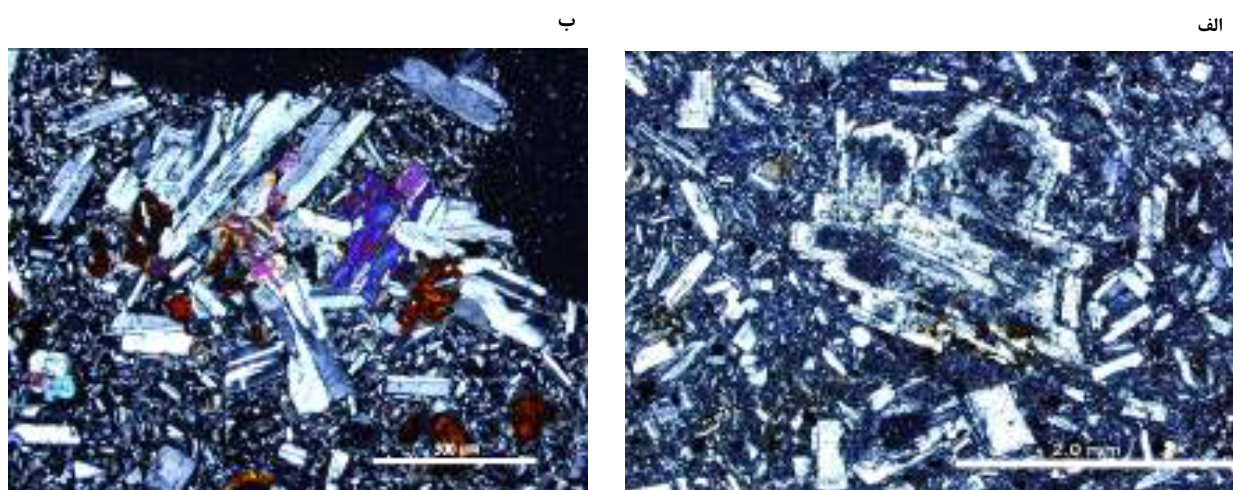
نمونه‌های آندزیت بازالتی از نقاط مختلف سیاه‌کوه علی‌آباد و کوه‌سیاه گاوخونی گردآوری و ویژگی‌ها و ارتباط صحرایی سنگ‌ها، مشخصات ظاهری و ساختهای ویژه مربوط به سنگ‌های آتش‌فشنای و یا عوامل ثانویه در آن‌ها بررسی شد. سپس از نمونه‌های مناسب، مقاطع نازک میکروسکوپی تهیه شد. بررسی سنگ نگاری آنها با میکروسکوپ قطبشی انجام گردید و در این ضمن، از تصاویر عکس‌برداری شد و جهت تحلیل آماری شکل و اندازه بلورها در مقاطع نازک به‌منظور گردآوری داده‌های خام از روش هیگینز [۷] استفاده شد. برای این منظور، نخست عکس‌های دیجیتالی بصورت پی‌درپی گرفته و توسط نرم افزار Microsoft ICE به هم چسبانده شد تا سطح بیشتری از مقطع پردازش گردد. سپس، با استفاده از نرم افزار Corel PHOTO-PAINT X8 بلورهای پلازیوکلاز از سایر بلورها جدا شدند. در این مرحله، بلورهایی با قابلیت جداسازی آسانتر از زمینه و دگرسانی کمتر به عنوان نماینده‌ی کل سنگ انتخاب شدند که بلورهای انتخابی برای هر مقطع حدود ۲۰۰ بلور بودند. سپس جهت تعیین ویژگی‌هایی مانند طول، عرض، مکان مرکز بلورها و درجه گردش‌گی از نرم افزار J Image برای تصاویر سیاه و سفید استفاده شد. در آخر، برای تبدیل داده‌های دو بعدی به سه بعدی و رسم نمودار توزیع پراکندگی اندازه نمونه‌ها از نرم افزار CSD Correction استفاده گردید. سپس، نتایج با توجه به شواهد کانی شناسی تجزیه و تحلیل شدند.

بحث و بررسی

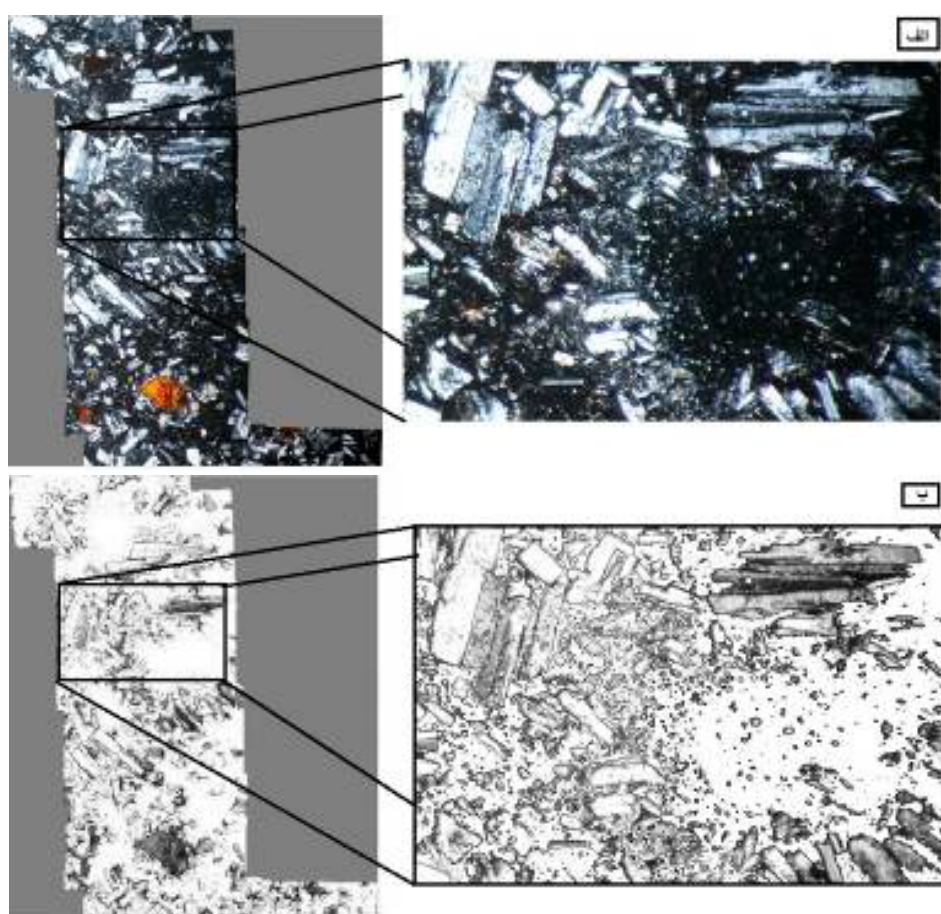
سنگ‌نگاری و کانی‌شناسی

بافت اصلی سنگ‌های آندزیت بازالتی ریزسنگی پورفیری است که درشت‌بلور بزرگ‌تر از ۱ میلی‌متر نیز در آنها دیده می‌شود. بافت حفره‌دار به ویژه در نمونه‌های اسکوری و همچنین بافت گلومرопورفیری از دیگر بافت‌های قابل مشاهده است که در آنها گلومرول‌ها از انباست تک‌کانیایی یا چند کانیایی تشکیل شده‌اند [۶] (شکل‌های ۲ و ۳).

الیوین مهم‌ترین کانی مافیک این سنگ‌های است که به صورت درشت‌بلور تا حدود ۲ میلی‌متر و ریزدرشت بلور دیده می‌شود. تقریباً در بیشتر نمونه‌ها، همه یا بخشی از این کانی به ایدنگزیت تبدیل شده است. برخی از اولیوین‌ها شکل‌های



شکل ۲ (الف) تصویر میکروسکوپی (XPL) دو نسل پلازیوکلاز با بافت غباری و رشد بلورهای بهم چسبیده پلازیوکلاز در آندزیت بازالتی با بافت ریزبلور پورفیری. (ب) بافت گلومروپرفیری در آندزیت بازالتی گلومرول که از کانی‌های پلازیوکلاز، اولیوین و پیروکسن در زمینه‌ی شیشه و ریزدرشت بلور تشکیل شده است.



شکل ۳ (الف) تصویر اصلی و (ب). تصویر پردازش شده نمونه مورد بررسی.

اندازه و فراوانی اندازه‌های مختلف بلور بررسی و با تفسیر آنها شرایط بلور مشخص می‌شود. برای بررسی شکل بلور در فضای سه بعدی از نسبت منظر بلور، یعنی طول: عرض: ارتفاع

شکل و پراکندگی اندازه بلور
بررسی پراکندگی اندازه بلورها روشی تکمیلی در سنگ شناسی است. بر پایه این روش ویژگی‌های مختلفی از بلور چون شکل،

واحد حجم (N_V) به تعداد بلورها در واحد سطح (N_A) تقسیم
بر اندازه متوسط بلورها ($D = S + I/3$) محاسبه می‌شود:

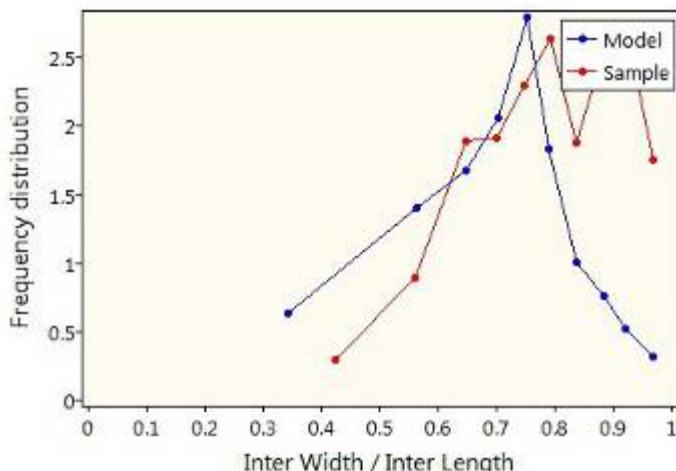
$$\sigma = (N_V / N_A) / D \quad (3)$$

شکل بلورها در نمودارهای زینگ یا نمودار I/L نسبت به رسم شده‌اند (شکل ۵) [۱۵]. در این نمودار، بلورها به انواع هم-بعد، تخته‌ای، کشیده و تیغه‌ای رده‌بندی می‌شوند. با اینکه در سنگ‌های آتشفسانی بلورهای تخته‌ای فراوان‌ترند، اما بررسی شکل بلورها نشان می‌دهد که بلورهای سازنده سنگ‌های مورد بررسی ابعاد نامساوی دارند، متوسط طول آنها کمتر از بلورهای تخته‌ای است و بیشتر به شکل تیغه‌ای، کشیده یا دوکی هستند (جدول ۱، شکل ۵).

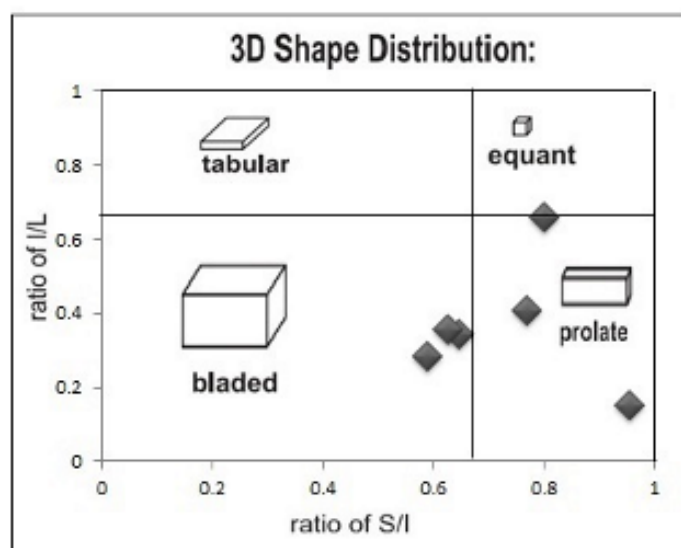
آن ($S:I:L$)، بعد کوتاه؛ بعد متوسط؛ بعد بلند) استفاده می‌شود [۱۴، ۱۳، ۷]. برای ساده سازی محاسبات، نسبت یاد شده به دو نسبت S/I و I/L تبدیل و از نتایج به دست آمده برای بیان کمی شکل بلورها استفاده می‌شود، بطوریکه مدل عرض به طول (W/L) برابر با نسبت بعد کوتاه به بعد متوسط است [۱۳]. با توجه به خمیدگی نمودار در شکل ۴، نسبت بعد متوسط به بعد بزرگ محاسبه می‌شود. با افزودن مقدار $0.5 \times \text{انحراف استاندارد} (W/L)$ به خمیدگی توزیع نسبت عرض به طول بلورها در مقطع نازک می‌توان مقدار I/L را با رابطه زیر بدست آورد که

$$I/L = 0.5 + \text{خمیدگی} \quad (1)$$

(۲) میانگین $(W/L) - [\text{مد} (W/L) \times \text{انحراف استاندارد} (W/L)]$ = خمیدگی ضریب ثابت شکل (طول مشخصه) از نسبت تعداد بلورها در



شکل ۴ نمودار پراکندگی نسبت‌های عرض به طول بلورهای مقطع شماره ۷ قله شدید مقدار مدل را نشان می‌دهد.



شکل ۵ شکل بلورهای پلازیوکلاز و نمودار زینگ برای نمونه‌های مورد بررسی [۱۵].

جدول ۱ ارتباط ابعاد بلور در نمونه‌های مورد بررسی.

Sample	S	I	L	SI	I/L	σ
۵	۱	۱,۲۵	۱,۹	۰,۸	۰,۶۶	۱۲,۹
۶	۱	۱,۳	۳,۲	۰,۷۷	۰,۴۱	۱۵,۲
۷	۱	۱,۰۵	۷	۰,۹۵	۰,۱۵	۱۱,۸
۹	۱	۱,۵۵	۴,۵	۰,۶۴	۰,۳۴	۹,۲
۱۱	۱	۱,۷	۶	۰,۵۹	۰,۲۸	۱۳,۳
۱۲	۱	۱,۶	۴,۵	۰,۶۲	۰,۳۵	۱۳,۴

هسته‌بندی نشانه تراکم هسته‌بندی صفر N^0 است. همچنین در جدول ۲، T مدت زمان رشد بلور بر حسب سال است.

بر این اساس، سرعت هسته‌بندی بلورهای پلازیوکلاز مورد بررسی $2,77 \times 10^{-8} \text{ mm}^{-3} \text{s}^{-1}$ تا $3,07 \times 10^{-8} \text{ mm}^{-3} \text{s}^{-1}$ و مدت زمان اقامت ماقمایی بلور ۷۱,۰۸-۱۷,۷۷ سال بدست آمد.

رابطه‌ی بین مدت زمان اقامت، ضریب ثابت شکل و سرعت رشد از رابطه زیر بدست می‌آید [۱۶].

$$G = \sigma/t \quad (6)$$

بافت یک سنگ متاثر از اندازه، شکل، جهت‌یابی، موقعیت و ارتباط بلورهاست. بلورها طی هسته‌گذاری و رشد تحت تاثیر عوامل کینتیکی قرار داشته و لی سرانجام به سمت تعادل پیش می‌روند. بافت سنگ‌های آتشفشاری پیشینه‌ی گرمایی سیستم را در خود حفظ می‌کند. بلورهای سنگ‌های آتشفشاری آثار درشت‌شدگی در اتفاق ماقمایی یا مجرأ پیش از فوران را بخوبی بازگو می‌کنند. روند گسترش بافتی از هسته‌گذاری، رشد تا درشت شدگی ساده ادامه می‌پاید [۱۸]. سرعت سردشدن بر بافت و ترکیبات بلوری، تراکم بلورها، ریختار، فراوانی و اندازه بلور اثر می‌گذارد. افزایش سرعت هسته‌بندی و فراوانی تعداد بلورهای پلازیوکلاز نسبت به سرعت رشد در سرعت بالای سردشدن رخ می‌دهد، که در این بافت و شیمی بلور نیز خود را نشان می‌دهد و در سرعت پایین سردشدن، بیشتر فازهای کانیایی قابلیت ایجاد هسته‌های فراوان را ندارند، که باعث رشد بیشتر هسته‌های موجود می‌شود. با افزایش سرعت رشد بلورهایی با شکل‌های هم بعدتر تشکیل می‌شوند [۱۹]. عواملی که که باعث رشد بلور می‌شوند وابسته به انتشار سازنده‌ها و تعداد اتم‌های موجود در ساختار بلور است.

افرون بر شکل بلورها، نظریه پراکندگی اندازه‌ی بلورها همچنین روشهای تکمیلی برای شناخت سرعت فرآیندهای فیزیکی در تبلور نیز است [۱۶]. اساس این روش بر پایه اندازه دانه‌ها و فراوانی آنها در سنگ است. تعیین اندازه یک بلور یا دانه، در واقع مشخص کردن فضای دربرگیرنده بلور است. عوامل اصلی در تحلیل پراکندگی اندازه بلور برای پلازیوکلازهای آندزیت بازالت‌ها محاسبه و نمودارهای فراوانی اندازه‌های مختلف بلور رسم شد (جدول ۲، شکل ۶). تنوع اندازه بلورهای پلازیوکلاز از ریزسنگ تا درشت‌بلور قابل توجه است. نمودار پراکندگی اندازه بلورها یک رابطه لگاریتمی خطی-توزیعی با افزایش اندازه بلور دارد. در نمودار فراوانی لگاریتمی بلورها نسبت به اندازه دانه‌ها، نرخ رشد بلور از شیب نمودار لگاریتمی در گستره زمانی مشخص تعیین می‌شود. محل تلاقی شیب نمودار (S) با محور فراوانی لگاریتمی چگالی هسته‌بندی (N^0) را نشان می‌دهد؛ متصل کننده خط این دو شاخص نمودار توزیعی اندازه بلور خواهد بود. برای یک دوره زمانی سرد شدن -3 - 300 سال (سال برای سرد شدن اغلب مذاب‌های بازالتی و 300 سال برای مخازن کم عمق) سرعت رشد بلور پلازیوکلاز $10^{-9} \text{ m} \text{ s}^{-1}$ میلی‌متر بر ثانیه محاسبه شده است [۱۷]. براساس این فرض می‌توان مدت اقامت ماقمایی بلور پلازیوکلاز مورد بررسی را محاسبه کرد (جدول ۲).

سرعت رشد از رابطه زیر به دست می‌آید:

$$S = -1/G \quad (4)$$

$$J = G N^0 \quad (5)$$

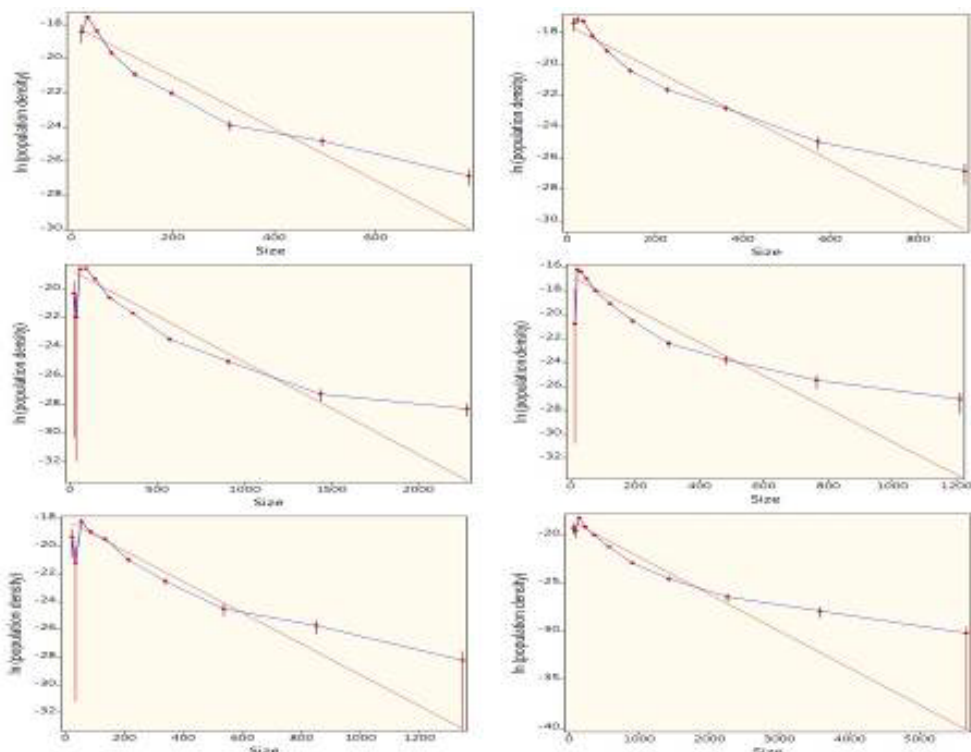
در این رابطه S شیب نمودار، T مدت زمان رشد بلور بر حسب سال، JS شیب نمودار پراکندگی، J سرعت هسته‌بندی بر حسب $\text{mm}^{-3} \text{s}^{-1}$ است. سرعت G سرعت رشد بر حسب mm s^{-1} و

درشت بلورها در محیطی نسبتاً ساکن شکل‌های نزدیک به هم-بعد ایجاد می‌کنند، در صورتیکه رشد بلور ضمن حرکت ماقماً بلورهای کشیده‌تری را بوجود می‌آورد، زیرا جابه‌جایی ماقماً در این محیط ناارام بیشتر است، بلورها از حالت هم‌بعد دور شده و شکل‌های طویل‌تر و نازک‌تر ایجاد می‌کنند.

بلورهای پلازیوکلاز مورد بررسی تیغه‌ای تا دوکی شکل بوده و هم بعد نیستند. این موضوع بیانگر فشار پایین سیستم، سرعت هسته‌بندی و انتشار بالاتر و رشد کم بلور ضمن حرکت است که با شرایط آتشفسانی قابل توجیه است. پلازیوکلازهای ریزبلوری و درشت‌بلورهای دارای منطقه‌بندی و گاهی بافت غباری، شرایط تبلور و دوره‌های هضم و رشد را نشان می‌دهند.

جدول ۲ نتایج برآمده از نمودارهای پراکندگی اندازه بلور برای نمونه‌های مورد بررسی.

نمونه	نمودار (S)	عرض از مبدأ	شیب	$G(\text{mms}^{-1})$	$J(\text{mm}^{-3}\text{s}^{-1})$	T(yr)
۵	-15,2	-18		10^{-9} تا 10^{-8}	$2,97 \times 10^{-8}$	۲۱,۰۸
۶	-14,4	-17,51		10^{-9} تا 10^{-8}	$2,88 \times 10^{-8}$	۶۷,۳۴
۷	-6,4	-18,65		10^{-9} تا 10^{-8}	$3,07 \times 10^{-8}$	۲۹,۹۳
۹	-13,8	-16,81		10^{-9} تا 10^{-8}	$2,77 \times 10^{-8}$	۶۴,۵۳
۱۱	-11,2	-18,09		10^{-9} تا 10^{-8}	$2,98 \times 10^{-8}$	۵۲,۳۷
۱۲	-3,8	-18,53		10^{-9} تا 10^{-8}	$3,05 \times 10^{-8}$	۱۷,۷۷



شکل ۶ نمودارهای لگاریتمی چگالی انباشتی نسبت به اندازه بلورها بر حسب میکرومتر برای نمونه‌های مورد بررسی. فراوانی بیش‌تر بلورهای کوچک و ریزسینگ‌های پلازیوکلاز در این نمودارها دیده می‌شود. تغییر ناگهانی شیب نمودار در سمت چپ ناشی از فرآیند حذف بلورهای ریزدانه است. درشت شدگی بافتی و یا رشد سینوسی منجر به شیب ملایمی در سمت راست نمودار شده و نمودار بسمت راست دچار شکستگی‌هایی است که نشانه‌ی وجود جمعیت بلوری با اندازه متفاوت است.

می‌شوند و نرخ رشد منفی آنها با روند رشد متناسب بلورها سازگار است. بطورکلی، سازوکار وابستگی سرعت رشد به اندازه بلور مشخص نیست، اما ارتباط نزدیکی بین رشد متناسب و کنترل شده با نقل و انتقال سازنده‌ها وجود دارد [۲۳].

افزایش سرعت رشد با افزایش اندازه بلور در سیستم‌های مختلف دیده می‌شود که باعث کاهش شب منحنی فراوانی اندازه‌ی دانه‌ها می‌شود. پس در نبود هسته‌گذاری جدید، برخوردگاه منحنی با محور عمودی پایین‌تر می‌آید. این رخداد در همبستگی با رشد منفی بلورهای کوچک، تراکم جمعیتی بلورهای کوچک و در کل تعداد بلورها را کاهش می‌دهد و منحنی می‌تواند در جهت خلاف عقربه‌های ساعت چرخش کند، به طوری که منحنی در اثر افزایش سرعت رشد نسبت به اندازه بلور کم شب و نسبتاً صاف می‌شود. در نتیجه تفسیر سنتی نمودارهای پراکنده‌ی اندازه بلور در سنگ‌های آذرین ممکن است در اصل ناقص باشد، زیرا شب نمودار نمی‌تواند سرعت متوسط رشد را نشان دهد. بنابراین شب اولیه منحنی بیشتر از اینکه به میانگین سرعت رشد وابسته باشد به زمان و تفاوت سرعت رشد بزرگ‌ترین و کوچک‌ترین بلورها مربوط است. همچنین برخوردگاه منحنی و محور عمودی (عرض از مبدأ) نمی‌تواند نشانگر چگالی هسته‌گذاری اولیه باشد، بلکه حد پایین آن را نشان می‌دهد [۲۳].

در صورت وجود دو یا چند دسته بلور از نظر اندازه، نمودار پراکنده‌ی اندازه‌ی بلور منحنی‌های شکسته‌ای را نشان می‌دهد. در واقع، هر روند منحنی در نمودار پراکنده‌ی اندازه بلورها، از دو یا چند خط مستقیم در نمودارهای جدگانه و در شرایط مجزا تشکیل می‌شود، مقدار خمین نمودار به علت لگاریتمی بودن محور عمودی بستگی به اختلاف شب نمودار پراکنده‌ی اندازه‌ی بلور دارد [۲۲-۲۰]. هر چه جمعیت‌های بلوری آمیخته از نظر اندازه‌ی بلور متفاوت باشند، یا مگما تبلور بیشتری را پشت سرگذاشته باشد، خمیدگی منحنی‌ها بیشتر می‌شود. توقف‌های مکرر ماجما در آشیانه‌ی ماجمایی می‌تواند باعث ایجاد چند مرحله‌ی تبلور و سرانجام ایجاد نمودارهای پراکنده‌ی اندازه‌ی بلور منحنی شکل شود. حتی تنها دو دوره‌ی سرد شدن متفاوت از تبلور برای ایجاد چنین الگوی پراکنده‌ی بلور کافی است. در کل، رخداد خمین در نمودار نشان‌دهنده تغییر در شرایط تبلور است. بنابراین در تحلیل نمودارهای پراکنده‌ی اندازه‌ی بلور، نکات بیان شده را باید در نظر داشت. تغییرات در نمودار پراکنده‌ی اندازه‌ی بلورهای پلاژیوکلاز مورد بررسی نیز

نمودارهای پراکنده‌ی اندازه بلور زمان توقف و رخدادهای آشیانه‌ی ماجمایی، نرخ سرد شدن ماجما و شرایط گوناگون تبلور ماجما، افزون بر بافت و زمین شیمی، بر نمودار پراکنده‌ی اندازه بلورها نیز اثر می‌گذارد [۲۰-۲۲]. نمودارهای فراوانی اندازه بلورها حالت‌های مختلفی را نشان می‌دهند که هریک به توضیح پراکنده‌ی جمعیت‌های بلوری کمک می‌کند. نمودار پراکنده‌ی اندازه بلورها طی تبلور در شرایط عادی مستقیم و به صورت یک خط راست با شب منفی است که روند متداول سرد شدن و تبلور ماجما و درشت شدگی را نشان می‌دهد، بطوری که فراوانی بلورهای کوچک‌تر بیشتر از بلورهای درشت‌تر است [۲۲-۲۰]. پژوهش‌های تجربی در ارتباط با رشد بلورها نشان می‌دهد که در آغاز هسته‌گذاری یک وقفه زمانی وجود دارد. هسته‌گذاری متراکم به درجات بالای سردشدن سریع یا فوق اشباعی نیاز دارد. هسته‌گذاری هر بلور احتمالاً به یک دوره کوتاه محدود است و با یک دوره‌ی رشد و تثبیت دنبال می‌شود. در عمل، هسته‌گذاری و رشد همزمان رخ نمی‌دهد. هسته‌گذاری و رشد بلور سازوکارهای رقابتی هستند که هر دو درجه فوق اشباعی مذاب را کاهش می‌دهند. رخداد هسته‌گذاری‌های متعدد در آشیانه‌ی ماجمایی و طی صعود احتمالاً وابسته به آشفتگی سریع فشار و دماست [۲۳]. طی رشد، هسته‌گذاری انجام نمی‌گیرد، چون وقتی بلورها شروع به رشد می‌کنند درجه فوق اشباعی لازم برای هسته‌گذاری کاهش می‌یابد، هسته‌گذاری متوقف می‌شود و پیشرفت نمودار توزیع اندازه بلورها تنها باخطر رشد هسته‌هایی است که در آغاز ایجاد شده‌اند. پس از هسته‌گذاری، از آنجا که نسبت سطح به حجم در هسته‌های فراوان‌تر بالاست، سطح بالای انرژی با تبلور خنثی می‌شود. بلورهای کوچک سطح و انرژی بیشتری دارند و برای رسیدن به تعادل انحلال بلورهای کوچک‌تر رخ می‌دهد. این عمل (عمل‌آوری استوالد^۱) باعث کاهش تراکم بلورهای کوچک می‌شود، به تدریج ذرات کوچک‌تر حذف شده و ذرات باقیمانده بزرگ‌تر می‌شوند. ذرات با اندازه متوسط تمایل دارند که طی این فرآیند با جذب اتم‌های سازنده بر سطح بلوری خود رشد کنند. به این منظور، طی یک فرآیند نفوذ رقابتی اندازه دانه‌ها افزایش و چگالی تعداد آنها کاهش می‌یابد. بلورهای کوچک به دلیل سطح انرژی بالاتر بطور کامل یا بخشی حل

1- Ostwald ripening

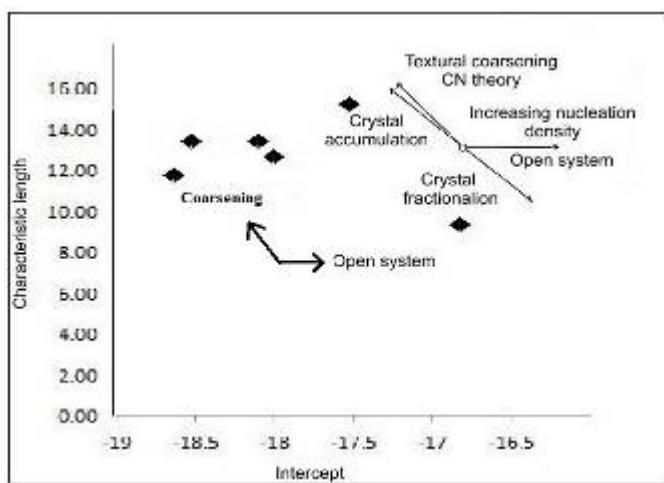
آشیانه‌ی ماغمایی و بالا رفتن دما تا جایی که به دمای معیانی نزدیک نشود، درشت‌شدنی تا رسیدن به شعاع بحرانی رخ می‌دهد و پس از آن حتی انباشته‌های بلوری بسیار درشت نیز پایدار نمی‌مانند [۱۸]. درشت‌شدنی در حضور یک‌فار سیال مانند گدازه رخ می‌دهد، هرچند در نبود آن، انتشار در میان دانه‌ها یا در راستای مرزهای بین‌دانه‌ای نیز صورت می‌گیرد [۲۴، ۲۲، ۱۷]. همچنین پلازیوکلازهای شناور در مذاب گاه بصورت بخشی ذوب می‌شوند و گاه بهم چسبیده و با هم مراحل رشد و یا ذوب را پشت سر می‌گذراند که باعث ایجاد بافت‌های مشخصه پلازیوکلاز می‌شود که به آن رشد سینوسی می‌گویند. اتصال بلورها به صورت سینوسی یا ادغام آنها از سازوکارهای موثر بر آرایش فضایی بلورهاست. رخداد به هم چسبیدن بلورها به ویژه در راستای وجود بلوری پلازیوکلازها به منظور کاهش انرژی سطحی بلور است، زیرا انرژی سطحی در محل تماس بلورهای یکسان نسبت به سطح تماس بلور- ماغمایی کمتر است [۲۲]. این بلورها ممکن است بهم چسبیده، رشد کرده و خوش تشکیل دهنده یا اینکه یکی شده و در هم ادغام شوند. این فرآیند در مراحل اولیه تبلور با درصد کم بلورها در ماغمای رخ می‌دهد [۲۵]. در نمونه‌های مورد بررسی، رشد سینوسی دیده می‌شود، اما این فرآیند تا حد ادغام بلورها پیش نرفته است. زیرا اتصال بلورهای کوچک طی صعود ماغمایی- تواند در اثر جریان‌های برشی یا هم‌اممیزی و هم‌رفتی در آشیانه ماغمایی رخ دهد، اما ادغام بلورها در اصل در محیطی به نسبت ایستا انجام می‌شود [۲۵] که با شرایط آتش‌شناسی این سنگ‌ها همخوانی ندارد.

درشت‌شدنی بافتی می‌تواند در سیستم‌های بسته یا باز رخ دهد. اگر سیستم بسته باشد، باید مقدار کلی یک‌فار ثابت بماند، در حالی که اندازه میانگین دانه‌ها افزایش می‌یابد. اگر سیستم باز باشد، مقدار یک‌فار می‌تواند مستقل از اندازه میانگین دانه افزایش یابد [۲۱، ۲۲، ۲۴، ۲۶]. توجه به شکل ۷ نمونه‌های مورد بررسی از حالت سیستم باز پیروی کرده که خود از روند انحلال دانه‌های کوچک‌تر و هسته‌زایی سطحی پیروی می‌کند (شکل ۸). باز بودن سیستم در یک محیط آتش‌شناسی قابل انتظار است. وجود بافت غباری و افزایش مقدار آنورتیت در لبه برخی از پلازیوکلازهای مورد بررسی نیز باز بودن سیستم را تائید می‌کند [۶]. هرچند تغییرات ترکیبی ناشی از محیط باز لزوماً نباید تفاوت بسیار با ترکیب اولیه داشته باشد. تغییرات فشار بخار آب نیز چنین تاثیری ایجاد می‌کند.

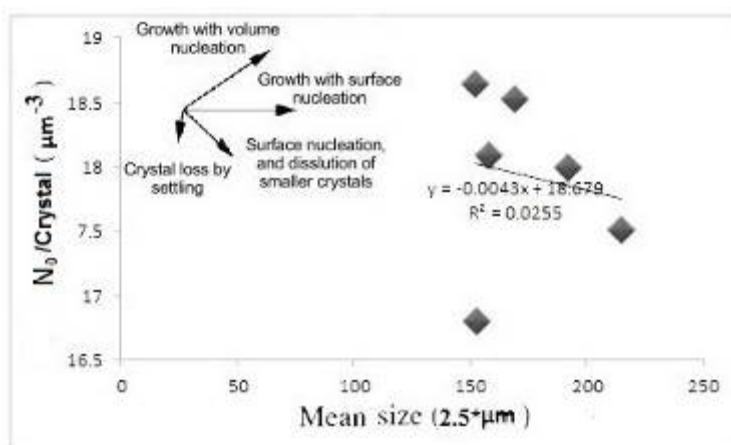
نیاز به تفسیر دارد. در این نمودارها، بلورهای کوچک پلازیوکلاز فراوانی بیشتر و بلورها با اندازه متوسط تا درشت فراوانی متوسط نسبی نشان می‌دهند. تغییر ناگهانی شب نمودار در سمت چپ و محل فراوانی بلورهای ریزدانه ناشی از فرآیند حذف بلورهای ریزدانه است. بلورهایی متوسط در اثر درشت‌شدنی بافتی و یا رشد سینوسی بزرگ‌تر شده‌اند که باعث ایجاد شب ملایمی در سمت راست نمودار شده است. با این وجود، نمودار بسمت راست دچار شکستگی‌هایی است که نشانه‌ی دوگانگی بافتی از نظر اندازه است. این امر می‌تواند ناشی از ورود یک جمعیت بلوری جدید به درون اتاق ماغمایی طی بالا آمدن ماغما باشد. هر مذاب در آشیانه ماغمایی سرگذشت هسته‌گذاری و درشت‌شدنی متقاوی داشته، سپس به سطح زمین راه یافته، بسرعت سرد شده و بلورهای ریز و شیشه‌ای ایجاد کرده است. ورود مذاب جدید به آشیانه ماغمایی باعث افزایش حجم آن و خروج بلورها بهمراه ماغما به سطح زمین می‌شود. همچنین بهم ریختگی گرمایی در آشیانه ماغمایی منجر به ذوب برخی از بلورها و ایجاد لبه‌های غباری رفته یا بافت غباری می‌شود. از آنجا که جز لبه‌های غباری گروهی از پلازیوکلازها، شواهد دیگری برای آمیختگی ماغمایی در این آندزیت بازالت‌ها وجود ندارد، می‌توان چنین نتیجه گرفت که ماغمای جدیدی که با مجموعه بلوری خود وارد آشیانه ماغمایی شده از نظر ترکیبی تفاوت چندانی با ماغمای میزبان نداشته است.

درشت شدنی

یکی از فرآیندهایی که برای توجیه تغییر شکل پلازیوکلازها بیان می‌شود، درشت‌شدنی بافتی است [۱۹]. برای به کمینه شدن انرژی سیستم، اندازه میانگین دانه‌ها افزایش می‌یابد. درشت‌شدنی در ریزسنگ‌ها و بلورهای ریز پلازیوکلاز رخ می‌دهد و این درشت‌شدنی به دلیل هسته‌گذاری سطحی در این کانی محدودیت دارد. در یک سیستم بسته، بلورهای کوچک‌تر از یک اندازه یا شعاع بحرانی حل می‌شوند و مواد به سمت دانه‌های درشت‌تر انتشار می‌یابند و حجم ثابت می‌ماند. ازین رو بجز اندازه بلور، موقعیت بلور طی رشد نیز اهمیت دارد. اما در سیستم باز، انتقال مواد توسط سیال به درون سیستم نیز روحی می‌دهد و ممکن است حجم و ترکیب تغییر کنند. این شرایط در سیستم‌های ماغمایی می‌تواند ناشی از تزریق متناوب مذاب به درون مخزن باشد. در اثر تزریق مذاب به پایین



شکل ۷ ویژگی طولی بلور نسبت به هسته بندی اولیه و درشت شدگی در سیستم باز و همچنین انباشت بلوری بلورهای مورد بررسی [۲۶].



شکل ۸ نمودار همبستگی معکوس حجم بلور با میانگین اندازه بلورهای مورد بررسی [۴] که نشان می‌دهد که در پلازیوکلازها درشت شدگی از هسته‌گذاری سطحی و هضم بلورهای کوچک‌تر پیروی می‌کند.

-۲ سرعت هسته‌بندی برای بلورهای پلازیوکلاز از بررسی پراکندگی اندازه و شکل بلور برای بلورهای پلازیوکلاز آندازیت بازالت‌های شمال گاوخونی نتایج زیر بدست آمد:

-۳ درشت شدگی بافتی نمونه‌های مورد بررسی وابسته به حالت سیستم باز است که خود از روند انحلال دانه‌های کوچک‌تر و هسته‌زایی سطحی پیروی می‌کنند و این در یک محیط آتشفشاری قابل انتظار است. رشد سینوسی نیز در درشت شدگی بلورهای پلازیوکلاز مورد بررسی نقش داشته است.

-۴ نمودارهای پراکندگی اندازه بلور، همراهی جمعیت‌های بلوری متغیر را نشان می‌دهند که می‌تواند ناشی از ورود یک

برداشت

از بررسی پراکندگی اندازه و شکل بلور برای بلورهای پلازیوکلاز آندازیت بازالت‌های شمال گاوخونی نتایج زیر بدست آمد:

۱- پلازیوکلازهای مورد بررسی بصورت ریزبلور و درشت بلور با منطقه‌بندی شیمیایی نوسانی، عادی و حتی معکوس گاه با بافت غباری و گاه با رشد سینوسی دیده می‌شوند. شکل سه بعدی بلورهای آنها در گستره‌های دوکی و تیغه‌ای قرار می‌گیرد. افزایش نرخ هسته‌بندی، افزایش نرخ نفوذ ترکیبات سازنده اجزای بلوری نسبت به زمینه، افزایش سرعت سرد شدن و کاهش فشار سیستم تبلور بر شکل سه بعدی اثر دارد که این با ماهیت آتشفشاری آنها همخوانی دارد.

- [6] Noghreyan M., Khodami M., "Magmatic evolution recorded by phenocrysts in volcanic rocks southeast of Isfahan", Journal of Tethys 2 (2014) 55-69.
- [7] Higgins M.D., "Magma dynamics beneath Kameni Volcano, Thera, Greece, as revealed by crystal size and shape measurements", Journal of Volcanology and Geothermal Research 70(1996) 37-48.
- [8] Shea T., Hammer J. E., "Kinetics of cooling-and decompression-induced crystallization in hydrous mafic-intermediate magmas", Journal of Volcanology and Geothermal Research 260 (2013) 127-145.
- [9] Putirka K A, "Igneous thermometers and barometers based on plagioclase plus liquid equilibria: Tests of some existing models and new calibrations", American Mineralogist 90 (2005) 336-346
- [10] Blundy J., Cashman K., Humphreys M., "Magma heating by decompression-driven crystallization beneath andesite volcanoes", Nature 443 (7107) 76-80.
- [11] Shcherbakov V. D., Plechov P. Y., Izbekov P. E., Shipman J. S., "Plagioclase zoning as an indicator of magma processes at Bezymianny Volcano, Kamchatka", Contributions to Mineralogy and Petrology 162 (2011) 83-99.
- [12] Streck M. J., "Mineral textures and zoning as evidence for open system processes", Reviews in Mineralogy & Geochemistry 69(2008) 595-622.
- [13] Higgins M.D., "Determination of crystal morphology and size from bulk measurements on thin sections: numerical modeling", American Mineralogist 79 (1994) 113-119.
- [14] Morgan D.J., Jerram D.A., "On estimating crystal shape for crystal size distribution analysis", Journal of Volcanology and Geothermal Research 154 (2006) 1-7.
- [15] Mock A., Jerram D.A., "Crystal size distributions (CSD) in three dimensions: insights from the 3D reconstruction of a highly porphyritic rhyolite", Journal of Petrology 46 (2005) 1525-1541.
- [16] Marsh B.D., "Crystal size distribution (CSD) in rocks and the kinetics and dynamics of crystallization I. theory", Contributions to Mineralogy and Petrology 99(1988) 277-291.
- [17] Cashman K.V., "Relationship between plagioclase crystallization and cooling rate" Contributions to Mineralogy and Petrology 113(1993) 126 -142.

جمعیت بلوری جدید به درون اتاق ماقمایی باشد. ورود مذاب جدید و با مجموعه بلوری دیگری به آشیانه ماقمایی به نوبه خود باعث افزایش حجم آشیانه ماقمایی شده و به خروج ماقمای همراه با بلورهای پیشین کمک می کند که باعث کوتاه شدن مدت اقامت بلور در آشیانه ماقمایی شده است. همچنین بهم ریختگی گرمایی در آشیانه ماقمایی منجر به ذوب برخی از بلورها و ایجاد لبه‌های تحلیل رفته یا بافت غباری می شود. گرمای ناشی از ورود ماقمای جدید به آشیانه ماقمایی نیز بر درشت شدگی بافتی اثر نسبی گذاشته است.

۵- وجود لبه‌های غباری و هضم گروهی از پلاژیوکلازها در این آندزیت بازالت‌ها نشانگر تغییرات دمایی و فشار بخار آب طی تبلور بلور است و نبود شواهد قوی برای آمیختگی شیمیایی ماقمایی نشان می دهد که ماقمای جدیدی که مجموعه بلوری خود را وارد آشیانه ماقمایی کرده از نظر ترکیبی تفاوت چندانی با ماقمای میزان نداشته است.

مراجع

- [1] Amini S., Eskandari A., "Investigation of physical processes of crystallization in igneous rocks from SE Birjand using 3-D shape modeling of plagioclase crystals (in Persian)", Iranian Journal of Crystallography and Mineralogy 18 (2011) 669-684.
- [2] Ahmadi A., Firouzkouhi Z.F., Moridi Farimani A.A., Lentre D.R., "Geochemical and textural characteristics of plagioclase as evidence for open-system processes: Case study from Bazman volcano SE Iran (in Persian)", Iranian Journal of Crystallography and Mineralogy 25 (2017) 367-380.
- [3] Modjarrad M., Shaykhbaglou S., "Crystal Size Distribution of amphibole and plagioclase from zanbil adakitic dacites, Urmia- Iran: evidence for magma mixing and textural coarsening", Acta Geodynamica et Geomateralia 13 (2016) 181, 89-101.
- [4] Pourkhorsandi H., Mirnejad H., Raiesi D., Hassanzadeh J., "Crystal size and shape distribution systematics of plagioclase and the determination of crystal residence times in the micromonzogabbros of Qisir Dagh, SE of Sabalan volcano (NW Iran)", Geologica Carpathica 66 (2015) 4, 257—268
- [5] Nabavi H., Amidi M., "The Geological map of Naein 1:100000", (1972) Geological Survey of Iran.

- development of crystal size distribution in igneous rocks", Contribution to Mineralogy and Petrology* (2014) doi.167. 10.1007/s00410-014-1003-9.
- [24] Higgins M.D., Roberge J., "Crystal size distribution (CSD) of plagioclase and amphibole from Soufriere Hills volcano, Montserrat: evidence for dynamic crystallization/textural coarsening cycles", *Journal of Petrology* 44(2003) 1401-1411.
- [25] Schiavi F., Walte N., Keppler H., "First in situ observation of crystallization processes in a basaltic-andesitic melt with the moissanite cell", *Geology* 37(2009) 963–966
- [26] Higgins M.D., "Origin of megacrysts in granitoids by textural coarsening: A Crystal Size Distribution (CSD) Study of Microcline in the Cathedral Peak Granodiorite, Sierra Nevada, California", in Fernandez, C., and Castro, A., Eds, Understanding granites: Integrating Modern and classical techniques. Special Publication 158: London, Geological Society of London (1999) 207–219.
- [18] Brugger C.R., Hammer J. E., "Crystal size distribution analysis of plagioclase in experimentally decompressed hydrous rhyodacite magma", *Earth and Planetary Science Letters* 300 (2010) 246–254.
- [19] Higgins M.D., "Textural coarsening in igneous rocks, International", *Geology Review* 53 (2011) 354–376.
- [20] Higgins M.D., "Measurement of crystal size distributions", *American Mineralogist*, 85 (2000) 1105-1116.
- [21] Higgins M.D., Roberge J., "Crystal size distribution (CSD) of plagioclase and amphibole from Soufriere Hills volcano, Montserrat: evidence for dynamic crystallization/textural coarsening cycles", *Journal of Petrology* 44 (2003) 1401-1411.
- [22] Higgins M. D., "Quantitative textural measurement in igneous and metamorphic petrology", Cambridge University, (2006) USA.
- [23] Ni H., Keppler H., Walte N., Schiavi F., Chen Y., Masotta M., Li Z., "In situ observation of crystal growth in a basalt melt and the